

УДК 539.3

НЕЛИНЕЙНЫЕ КОЛЕБАНИЯ ПРОВОДЯЩЕЙ ПЛАСТИНКИ В ПРОДОЛЬНОМ МАГНИТНОМ ПОЛЕ

БАГДАСАРЯН Г. Е., ХАЧАТРИЯН Г. М.

В работе, исходя из магнитоупругой теории гибких пластин, изучены нелинейные колебания пластины—полосы в продольном, постоянном магнитном поле. Получено алгебраическое уравнение, которое связывает комплексную частоту и амплитуду колебаний.

Численным исследованием этого уравнения выявлено влияние амплитуды и магнитного поля на основные характеристики магнитоупругих колебаний.

1. Пусть упругая изотропная пластина-полоса постоянной толщины $2h$ отнесена к декартовой системе координат x_1, x_2, x_3 так, что срединная плоскость недеформированной пластины совпадает с координатной плоскостью x_1x_2 . Пластина, занимающая область $(0 \leq x_1 \leq a, -\infty < x_2 < \infty, -h \leq x_3 \leq h)$, изготовлена из проводящего материала и колебается в вакууме при наличии внешнего постоянного магнитного поля с заданным вектором напряженности $\vec{H}_0(H_{01}, 0, 0)$. Границные условия на длинных сторонах пластины ($x_1=0, x_1=a$) таковы, что она колебается по форме цилиндрической поверхности с образующими параллельными координатной линии Ox_2 (все величины не зависят от координаты x_2) магнитная проницаемость материала пластины считается равной единице.

Будем пользоваться основными предположениями нелинейной теории пластин, считая справедливой гипотезу магнитоупругости тонких тел [1]. Будем считать также, что влиянием тангенциальных составляющих сил инерции и токов смещения на характеристики магнитоупругих колебаний пластины можно пренебречь.

В силу принятых предположений система уравнений нелинейных магнитоупругих колебаний, полученная в работе [2], принимает вид:

$$\begin{aligned} \frac{\partial \psi}{\partial x_1} + \frac{1}{c} \frac{\partial f}{\partial t} &= 0 \\ \frac{\partial f}{\partial x_1} + \frac{4\pi\sigma}{c} \left(\psi + \frac{H_{01}}{c} \frac{\partial w}{\partial t} \right) &= \frac{h_1^+ - h_1^-}{2h} \\ \frac{\partial^2 u}{\partial x_1^2} + \frac{\partial w}{\partial x_1} \frac{\partial^2 w}{\partial x_1^2} + \frac{z(1-z^2)}{cE} \left(f + H_{01} \frac{\partial w}{\partial x_1} \right) \left(\psi + \frac{H_{01}}{c} \frac{\partial w}{\partial t} \right) &= 0 \\ D \frac{\partial^4 w}{\partial x_1^4} + 2ph \frac{\partial^3 w}{\partial t^3} + \frac{2\sigma h}{c} H_{01} \left(\psi + \frac{H_{01}}{c} \frac{\partial w}{\partial t} \right) - & \end{aligned}$$

$$-\frac{2Eh}{1-\nu^2} \frac{\partial}{\partial x_1} \left\{ \frac{\partial \omega}{\partial x_1} \left[\frac{\partial u}{\partial x_1} + \frac{1}{2} \left(\frac{\partial \omega}{\partial x_1} \right)^2 \right] \right\} = 0 \quad (1.1)$$

где $u(x_1, t)$, $\omega(x_1, t)$ — искомые перемещения точек срединной плоскости пластины; $\psi(x_1, t)$ — искомая тангенциальная компонента индуцированного в пластинке электрического поля, $f(x_1, t)$ — искомая нормальная компонента индуцированного в пластинке магнитного поля $\vec{h}(h_1, 0, f)$; $D = 2Eh^3/3(1-\nu^2)$ — цилиндрическая жесткость, E — модуль упругости, ν — коэффициент Пуассона, σ — электро проводность, ρ — плотность материала пластины; h_1^\pm — неизвестные граничные значения тангенциальной компоненты $h_1(x_1, x_3, t)$ на поверхностях $x_3 = \pm h$ пластины.

Величины h_1^\pm , входящие в (1.1), определяются из решения уравнений Максвелла для окружающей среды

$$\text{rot } \vec{h}^{(e)} = 0, \quad \text{div } \vec{h}^{(e)} = 0 \quad (1.2)$$

при граничном условии

$$h_3^{(e)} = f \quad (1.3)$$

на поверхности пластины и условии затухания электромагнитных возмущений на бесконечности. При решении краевой задачи (1.2) — (1.3) принимается, что пластина бесконечна. Тогда указанная краевая задача легко решается, и для неизвестных h_1^\pm получаются выражения

$$h_1^\pm = \mp \frac{1}{k} \frac{\partial f}{\partial x} \quad (1.4)$$

В (1.4) k — волновое число, которое, в зависимости от граничных условий на контуре пластины и от напряженности внешнего магнитного поля, определяем асимптотическим методом решения соответствующей линейной задачи, предложенный в работе [3]. Причем, как показано в [3], ошибка, вносимая асимптотическим методом и предположением бесконечности пластины при определении h_1^\pm и характеристик магнитоупругих колебаний, прецебрежимо мала.

Учитывая (1.4) из (1.1), путем исключения функции ψ

$$\psi + \frac{H_{01}}{c} \frac{\partial \omega}{\partial t} = - \frac{ck_0}{4\pi\varepsilon} \frac{\partial f}{\partial x_1}, \quad k_0 = \frac{1+kh}{kh} \quad (1.5)$$

получим следующую систему дифференциальных уравнений, описывающую поперечные колебания проводящей пластины-полосы в продольном магнитном поле:

$$\begin{aligned} \frac{\partial^2 u}{\partial x_1^2} + \frac{\partial \omega}{\partial x_1} \frac{\partial^2 \omega}{\partial x_1^2} - \frac{(1-\nu^2)k_0}{4\pi E} \left(f + H_{01} \frac{\partial \omega}{\partial x_1} \right) \frac{\partial f}{\partial x_1} &= 0 \\ D \frac{\partial^4 \omega}{\partial x_1^4} + 2\rho h \frac{\partial^2 \omega}{\partial t^2} - \frac{h H_{01} k_0}{2\pi} \frac{\partial f}{\partial x_1} &= \end{aligned}$$

$$-\frac{2Eh}{1-v^2} \frac{\partial}{\partial x_1} \left[\frac{\partial w}{\partial x_1} \left(\frac{\partial u}{\partial x_1} + \frac{1}{2} \left(\frac{\partial w}{\partial x_1} \right)^2 \right) \right] = 0 \quad (1.1)$$

где $u(x_1, t)$, $w(x_1, t)$ — искомые перемещения точек срединной плоскости пластинки; $\psi(x_1, t)$ — искомая тангенциальная компонента индуцированного в пластинке электрического поля, $f(x_1, t)$ — искомая нормальная компонента индуцированного в пластинке магнитного поля $\vec{h}(h_1, 0, f)$; $D=2Eh^3/3(1-v^2)$ — цилиндрическая жесткость, E — модуль упругости, v — коэффициент Пуассона, σ — электропроводность, ρ — плотность материала пластинки; h_1^\pm — неизвестные граничные значения тангенциальной компоненты $h_1(x_1, x_3, t)$ на поверхностях $x_3 = \pm h$ пластинки.

Величины h_1^\pm , входящие в (1.1), определяются из решения уравнений Максвелла для окружающей среды

$$\operatorname{rot} \vec{h}^{(e)} = 0, \quad \operatorname{div} \vec{h}^{(e)} = 0 \quad (1.2)$$

при граничном условии

$$h_1^{(e)} = \hat{f} \quad (1.3)$$

на поверхности пластины и условии затухания электромагнитных возмущений на бесконечности. При решении краевой задачи (1.2) — (1.3) принимается, что пластина бесконечна. Тогда указанная краевая задача легко решается, и для неизвестных h_1^\pm получаются выражения

$$h_1^\pm = \mp \frac{1}{k} \frac{\partial f}{\partial x} \quad (1.4)$$

В (1.4) k — волновое число, которое, в зависимости от граничных условий на контуре пластины и от напряженности внешнего магнитного поля, определяем асимптотическим методом решения соответствующей линейной задачи, предложенный в работе [3]. Причем, как показано в [3], ошибка, вносимая асимптотическим методом и предположением бесконечности пластины при определении h_1^\pm и характеристик магнитоупругих колебаний, пренебрежимо мала.

Учитывая (1.4) из (1.1), путем исключения функции ψ

$$\psi + \frac{H_{01}}{c} \frac{\partial w}{\partial t} = - \frac{ck_0}{4\pi\sigma} \frac{\partial f}{\partial x_1}, \quad k_0 = \frac{1+kh}{kh} \quad (1.5)$$

получим следующую систему дифференциальных уравнений, описывающую нелинейные колебания проводящей пластины-полосы в продольном магнитном поле:

$$\begin{aligned} \frac{\partial^2 u}{\partial x_1^2} + \frac{\partial w}{\partial x_1} \frac{\partial^2 w}{\partial x_1^2} - \frac{(1-v^2)k_0}{4\pi E} \left(f + H_{01} \frac{\partial w}{\partial x_1} \right) \frac{\partial f}{\partial x_1} &= 0 \\ D \frac{\partial^2 w}{\partial x_1^2} + 2\eta h \frac{\partial^2 w}{\partial t^2} - \frac{hH_{01}k_0}{2\pi} \frac{\partial f}{\partial x_1} &- \end{aligned}$$

$$-\frac{2Eh}{1-v^2} \frac{\partial}{\partial x_1} \left[\frac{\partial w}{\partial x_1} \left[\frac{\partial u}{\partial x_1} + \frac{1}{2} \left(\frac{\partial w}{\partial x_1} \right)^2 \right] \right] = 0$$

$$\frac{\partial^2 f}{\partial x_1^2} - \frac{4\pi\varepsilon}{k_0 c^2} \frac{\partial}{\partial t} \left(f - H_{01} \frac{\partial w}{\partial x_1} \right) = 0 \quad (1.6)$$

В случае идеально проводящей пластиинки $\sigma \rightarrow \infty$ уравнения (1.6) принимают вид

$$\frac{\partial^2 u}{\partial x_1^2} + \frac{\partial w}{\partial x_1} \frac{\partial^2 w}{\partial x_1^2} - \alpha \frac{\partial w}{\partial x_1} \frac{\partial^2 w}{\partial x_1^2} = 0$$

$$D \frac{\partial^4 w}{\partial x_1^4} + 2\beta h \frac{\partial^4 w}{\partial t^4} - \frac{Eh^2}{1-v^2} \frac{\partial^2 w}{\partial x_1^2} -$$

$$-\frac{2Eh}{1-v^2} \frac{\partial}{\partial x_1} \left[\frac{\partial w}{\partial x_1} \left[\frac{\partial u}{\partial x_1} + \frac{1}{2} \left(\frac{\partial w}{\partial x_1} \right)^2 \right] \right] = 0 \quad (1.7)$$

где

$$\alpha = \frac{(1-v^2)H_{01}^2}{2\pi E} \left(1 + \frac{1}{kh} \right) \quad (1.8)$$

При решении конкретных задач к уравнениям (1.5) должны быть присоединены обычные условия закрепления краев пластиинки и граничные условия для нормальной компоненты f индуцированного в пластиинке магнитного поля на торцах пластиинки. Если край пластиинки неподвижен в поперечном направлении, то можно принять, что компонента ψ индуцированного электрического поля на этом краю равна нулю [1].

Поэтому для рассматриваемой задачи, если принять, что края пластиинки $x_1=0$ и $x_1=a$ в поперечном направлении неподвижны, то граничными условиями задачи помимо известных условий закрепления краев пластиинки, согласно (1.5), будут также условия

$$\frac{\partial f}{\partial x_1} = 0 \quad \text{при } x_1=0, \quad x_1=a \quad (1.9)$$

Заметим, что нелинейные члены, входящие в (1.6), по своему происхождению, бывают двух типов: члены, характеризующие электродинамическую нелинейность (третий член первого уравнения системы (1.6)) и члены, характеризующие геометрическую нелинейность (второй член первого уравнения и четвертый член третьего уравнения системы (1.6)). Сказанное относится также к системе (1.7), описывающей нелинейные магнитоупругие колебания идеально проводящей пластиинки. Как видно из первого уравнения системы (1.7), если $\alpha = [(1-v^2)\kappa_0 H_{01}^2/2\pi E] \ll 1$, то третий член этого уравнения, учитывающий электродинамическую нелинейность, пренебрежимо мал по сравнению со вторым членом, учитывающим геометрическую нелинейность рассматриваемой задачи. Это заключение вытекает также из системы (1.6), если помимо $\alpha \ll 1$ учесть также, что для реальных

проводящих материалов и конструкций $\omega H_0^2/c^2 E \ll 1$, где ω —частота колебаний.

Таким образом, если пластина не слишком тонкая ($kh \geq 10^{-3}$), а интенсивность внешнего магнитного поля не слишком велика ($H_0 \leq 3 \cdot 10^4$ эрстед), то преобладающей является геометрическая нелинейность.

2. На основе уравнений (1.6) исследуем нелинейные магнитоупругие колебания пластины-полосы, длины сторон которой шарнирно опорты и неподвижны. Тогда граничными условиями задачи, согласно (1.9), будут:

$$w=0, \quad \frac{\partial^2 w}{\partial x_1^2}=0 \quad \text{при } x_1=0, \quad x_1=a \quad (2.1)$$

$$u(x_1, t)=0 \quad \text{при } x_1=0, \quad x_1=a \quad (2.2)$$

$$\frac{\partial f}{\partial x_1}=0 \quad \text{при } x_1=0, \quad x_1=a \quad (2.3)$$

Принимая $\alpha \ll 1$, из первого уравнения системы (1.6), где нелинейные члены электромагнитного происхождения согласно условию $\alpha \ll 1$ будут пренебрегаться, после удовлетворения граничным условиям (2.2), находим

$$\frac{\partial u}{\partial x_1} + \frac{1}{2} \left(\frac{\partial w}{\partial x_1} \right)^2 = \frac{1}{2a} \int_0^a \left(\frac{\partial w}{\partial x_1} \right)^2 dx_1 \quad (2.4)$$

которое позволяет исключить функцию u из системы (1.6).

Остальные неизвестные функции $w(x_1, t)$ и $f(x_1, t)$, удовлетворяющие граничным условиям (2.1) и (2.3), будем искать в виде

$$w=w(t) \sin kx_1, \quad f=f(t) \cos kx_1 \quad (2.5)$$

где $k=\pi/a$; $w(t)$ и $f(t)$ —неизвестные функции, подлежащие определению.

Подставляя (2.5) в третье уравнение системы (1.6), получим уравнение

$$\frac{df}{dt} + \frac{k_0 h^2 c^2}{4\pi\sigma} f = k H_0 \frac{dw}{dt} \quad (2.6)$$

которое представляет первое уравнение для определения неизвестных $w(t)$ и $f(t)$.

Подставляя (2.5) во второе уравнение системы (1.6), и, применяя метод Галеркина, с учетом (2.4), получим второе уравнение относительно $w(t)$ и $f(t)$ в следующем виде:

$$\frac{d^2 w}{dt^2} + \Omega_0^2 \left(1 + \frac{3}{4h^2} w^2 \right) w + \frac{hk_0 H_0}{4\pi\sigma} f = 0, \quad \Omega_0^2 = \frac{Dk^4}{2\rho h} \quad (2.7)$$

где Ω_0 —частота собственных малых колебаний пластины при отсутствии магнитного поля.

Наконец, из (2.6) и (2.7), путем исключения функции $f(t)$, приходим к следующему уравнению:

$$\left(1 + \frac{4\pi\sigma}{k_0 k^2 c^2} \frac{d}{dt}\right) \left| \frac{d^2 w}{dt^2} + \Omega_0^2 \left(1 + \frac{3}{4h^2} w^2\right) w \right| + \frac{\sigma H_{01}^2}{c^2 \rho} \frac{dw}{dt} = 0 \quad (2.8)$$

описывающему нелинейные колебания пластинки-полосы конечной электропроводности в продольном постоянном магнитном поле.

3. Решение уравнения (2.8) представим в виде

$$w(t) = A_1 \cos \omega t + A_2 \sin \omega t \quad (3.1)$$

где A_1 и A_2 —постоянные, ω —частота колебаний.

Подставляя (3.1) в уравнение (2.8), и, приравнивая к нулю коэффициенты при $\cos \omega t$ и $\sin \omega t$ (члены с утроенной частотой отбрасываются), получим системы уравнений

$$\begin{aligned} (\omega^2 - \Omega_1^2 - \gamma A^2) \omega A_1 + (\Omega_0^2 - \omega^2 + \gamma A^2) \omega A_2 &= 0 \\ \gamma_1 (\Omega_0^2 - \omega^2 + \gamma A^2) A_1 - (\omega^2 - \Omega_1^2 - \gamma A^2) \omega A_2 &= 0 \end{aligned} \quad (3.2)$$

здесь

$$\begin{aligned} \gamma_1 &= \frac{k_0 h^2 c^2}{4\pi\sigma}, \quad \Omega_1^2 = \Omega_0^2 + \frac{k_0 h^2}{4\pi\sigma} H_{01}^2 \\ \gamma &= \frac{9\Omega_0^2}{16h^2}, \quad A^2 = A_1^2 + A_2^2 \end{aligned}$$

Ω_1 —частота малых магнитоупругих колебаний идеально проводящей пластины в продольном магнитном поле, A —амплитуда магнитоупругих колебаний.

Требуя, чтобы система (3.2) имела нетривиальное решение, получим следующее характеристическое уравнение:

$$\gamma_0 \Omega^2 + \beta \Omega^2 + \gamma_0 (1 + \beta^2 + 2.25 A_0^2) \Omega + \beta (1 + 2.25 A_0^2) = 0 \quad (3.3)$$

связывающее комплексную частоту нелинейных магнитоупругих колебаний с их амплитудой и напряженностью внешнего магнитного поля.

В (3.3) введены следующие безразмерные обозначения:

$$\begin{aligned} \gamma_0 &= \frac{4\pi\sigma}{\Omega_0}, \quad \beta = \frac{k_0 c^2}{v_0^2}, \quad \Omega = \frac{\omega}{\Omega_0}, \\ v_0 &= \frac{\Omega_0}{h}, \quad \delta = \frac{v^2}{c^2}, \quad \sigma_A^2 = \frac{H_{01}^2}{4\pi\rho}, \quad A_0 = \frac{A}{2h} \end{aligned}$$

Здесь σ_0 —параметр, характеризующий проводимость материала пластины, v_0 —фазовая скорость распространения упругих волн в пластинах, β —величина, пропорциональная отношению скорости распространения электромагнитных волн в вакууме к фазовой скорости распространения упругих волн в пластинах, v_A —величина, характеризующая напряженность заданного магнитного поля и численно равная скорости распространения электромагнитных волн Альвена, A —безразмерная амплитуда магнитоупругих колебаний пластины.

При отсутствии магнитного поля ($H_{01}=0$) из (3.3) получается известная формула [4]

$$\frac{\omega^2}{\Omega_0^2} = 1 + 2,25A_0^2 \quad (3.4)$$

характеризующая амплитудно-частотные зависимости нелинейных колебаний и показывающая монотонно возрастающий характер указанной зависимости.

В случае же линейной задачи ($A=0$) из (3.3) получается известное уравнение [1]

$$\omega_0^2 \Omega^3 + 3\Omega^2 + \omega_0^2(1 + \delta\beta)\Omega + 3 = 0 \quad (3.5)$$

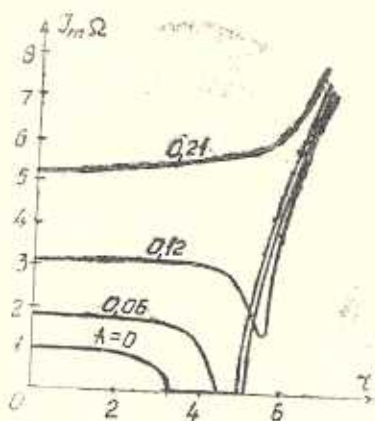
определяющее зависимость частоты малых магнитоупругих колебаний от величины напряженности внешнего магнитного поля. Исследование уравнения (3.5) показывает следующий характер этой зависимости [5]. Для сравнительно толстых пластин частота колебаний увеличивается с увеличением величины напряженности H_{01} магнитного поля. Для очень тонких пластин картина существенно меняется. В этом случае, начиная с некоторого значения H_{01} , при дальнейшем увеличении величины напряженности магнитного поля, частота малых колебаний быстро убывает, достигая нулевого уровня, который сохраняется в определенном интервале изменения H_{01} . Дальнейшее увеличение его значения приводит к резкому увеличению частоты колебаний пластины. Для пластины средней толщины зависимость частоты колебаний от H_{01} имеет экстремальный характер (существует точка минимума).

Ниже, на основе уравнения (3.3) проведено численное исследование с целью выявления влияния амплитуды колебания на указанную выше зависимость частоты магнитоупругих колебаний от величины напряженности магнитного поля, а также установлено влияние магнитного поля на амплитудно-частотную зависимость нелинейных колебаний.

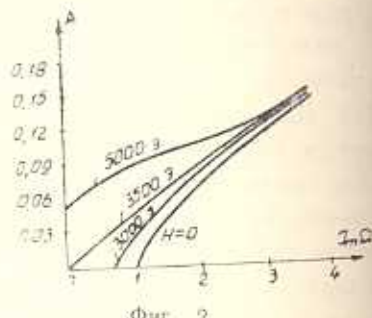
Для расчетов принято $E=8 \cdot 10^{11}$ дин/см², $\nu=0.3$, $\sigma=1.5 \cdot 10^4$ 1/сек, $\rho=7.1 \cdot 10^3$ г/см³ (цинк), $a=20$ см, $h=0.025$ см, $H_{01}=r \cdot 10^3$ э.

Размеры пластины выбраны таким образом, чтобы для линейной задачи существовала область нулевых значений частоты магнитоупругих колебаний пластины. Результаты расчетов представлены на фиг. 1, 2 и 3. Из фиг. 1 (где показана зависимость частоты магнитоупругих колебаний от величины напряженности магнитного поля при различных значениях амплитуды колебаний), видно, что с увеличением амплитуды колебаний ширина области нулевых значений частоты колебаний уменьшается и при определенном значении A_* полностью исчезает. При $A_* > A > A_*$ зависимость частоты колебаний от H_{01} имеет экстремальный характер с точкой минимума. При дальнейшем увеличении амплитуды колебаний ($A > A_*$) исследуемая зависимость $\text{Im}\Omega$ от H_{01} становится монотонно-возрастающей. Аналогичный результат виден также из фиг. 2, где показана амплитудно-частотная зависимость колебаний пластины при различных значениях величины напряженности магнитного поля. Из фиг. 2 видно, что если напряженность магнитного поля меньше некоторого зна-

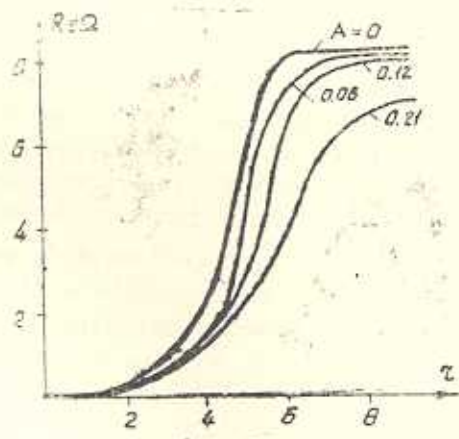
чения, то с увеличением A частота увеличивается, а если напряженность достаточно велика, то существует область изменения A ($0 \leq A \leq A_*$), где $\text{Im}\Omega = 0$. При $A > A_*$ зависимость вновь имеет возрастающий характер. На фиг. 3 показана зависимость коэффициента затухания магнитного происхождения от напряженности магнитного поля при



Фиг. 1



Фиг. 2



Фиг. 3

различных значениях амплитуды колебаний. Отсюда видно, что с увеличением H_0 , коэффициент затухания достаточно быстро увеличивается и, достигнув определенного значения, далее практически не изменяется. Влияние амплитуды колебаний уменьшает демпфирующее действие магнитного поля.

В заключение отметим, что если толщина пластинки такова, что при $A=0$ зависимость частоты колебаний от H_0 имеет монотонно возрастающий характер, то учет нелинейности колебаний приводит к существенному увеличению частоты колебаний и уменьшению затухания.

NON-LINEAR VIBRATIONS OF CONDUCTIVE PLATES IN LONGITUDINAL MAGNETIC FIELD

G. E. BAGDASARIAN, G. M. KHACHATRIAN

ՀԱՅԱՍՏԱՆԻ ՍՈՒ ՊԶ ԳԵՐԱՅԻՆ ՏԱՏՈՎԱՐՄԱՆ ԵՐԿԱՎԱՋԱԿԱՆ
ՄԱԳՆԻՍԻԿԱԿԱՆ ԳԱՆՏՈՒՄ

Դ. Ե. ԲԱԳԴԱՍԱՐՅԱՆ, Գ. Մ. ԽԱՇԱՏՐԻԱՆ

Ա. Ժ Փ Ո Փ Ո Ւ Մ

Աշխատանքում, ելնելով ճկուն սալերի մագնիսառադպականության տեսքից, ուսումնասիրված է շերտ-սալի ու զժային տատանումները երկայնական հաստատուն մագնիսական դաշտում։ Մտացված է հանրահաշվական հավասարում, որը կապ է ստեղծում տատանման կոմպլեքս հաճախության և ամպլիտուդի միջև։ Այդ հավասարման թվային հետազոտմամբ ի հայտ է բերված ամպլիտուդի և մագնիսական դաշտի ազդեցությունները մագնիսառադպական տատանումների հիմնական բնութափրկչների վրա։

ԼԻՏԵՐԱՏՈՒՐԱ

1. Ամբարցումյան Ս. Ա., Բագդասարյան Գ. Ե., Բելուբեկյան Մ. Վ. Մագնիտուրգոտ տոնկի օբոլոչեր և պլատնին.—Մ.: Նաւագագիր, 1977.
2. Բագդասարյան Գ. Ե., Դանօյն Յ. Ի. Օсновные уравнения и соотношения нелинейных магнитоупругих колебаний тонких электропроводящих пластинок.—Изв. АН АрмССР. Механика, 1985, т. 38, № 2, с. 17—29.
3. Ակոպյան Պ. Յ., Բագդասարյան Գ. Ե. Колебания прямоугольной проводящей пластины в продольном магнитном поле.—Изв. АН АрмССР. Механика, 1987, т. 40, № 3, с. 11—18.
4. Վոլ्फմար Ա. Շ. Նелинейная динамика пластинок и оболочек.—М.: Наука, 1972.
5. Ամբարցումյան Ս. Ա. Некоторые особенности колебаний пластинок в магнитном поле.—Изв. АН СССР. Механика твердого тела, 1983, № 4.

Երևանский государственный
университет

Поступила в редакцию
28.I.1991